

京都大学防災研究所 正員 芦田和男
同 同 ○ 鹿利武信

概説 流域管理には水系一貫した取り扱いが肝要である。それは水についてのみならず、流出土砂についても言えることであろう。とくに最近のよう下流域での河道工事不足が問題となるとき、その意義は大きい。さて、そういう大取り扱いの前提として、流域全体についての土砂流出あるいは土砂移動の時間的空間的な変動を予測し、あるいは人工を加えることの影響を推定できなければならぬ。このうち、土砂流出・移動の空間的偏差は潜在的な土砂生産力にかかわる地質条件の差違を論外として、この過程が進行する場としての流域がもつ地形特性を表示する諸量の変動・偏差に大いに影響を及ぼすものである。本文は、庄川水系を対象として概急的に「荒れていこう」支川と、そうでない支川とににおける地形諸量の差違と土砂流出について、二三検討したものである。

対象流域 対象は庄川水系の山地流域すなはち利賀川合流点より上流である。庄川は、1930年代から多くの発電ダムが築造されており、流出土砂量をはじめ降雨・流量についても比較的正確な資料を得られる利点を有している。地質的には飛騨外縁構造帯のうえに白山火山帯が重複する複雑なものである。使用した地形図は地理院発行1/5万地形図であり、河道網は等高線の屈曲から読みとった谷線からはじめ、Horton-Strahler ordering systemで整理した。各支川の概略は表-1のとおりである。

土砂流出に関連する地形量 流出し土砂は、一般に浮遊土砂量と掃流土砂量に大別できる。河川の輸送能力としては、前者に対しては流量の二乗、後者に対しては〔流量×エネルギー一勾配〕に比例するものとえらばよう。いま、降雨が均等に与えられるものとすれば、各支流の流量は流域面積をもって代表でき、また、エネルギー一勾配は、支流のもつ河道勾配をもってかえることが大略的にはできよう。したがって、〔河道勾配×流域面積〕あるいはそれとの分布特性、統計値が流域内の土砂流出の様相を説明するのに適当な地形量とみなすことができる。ところで、平均流域面積、平均河道勾配は流域の次数の増加にしたがって、それが等比級数的に増大、減少するという統計則がすぐれたえらばれている。本流域についてこれらとの適合性を吟味すると、前者については成り立つが、後者については必ず流域の地質構造的な影響もあるてか必ずしも成り立つとは言えない。なお、1次浴の平均勾配の分布を各支川ごとに検討した結果、正規分布しているとみなし、標準偏差もほとんどからず中央値だけがゆる荒廢支川にあけるほど大きくなっていることがわかつた。

参考 YANGは、河道網形成にエントロピーの

表-1 各支川の概略

ダム	支川	流域面積	最高次数	分岐比	河道長比	蓄水面積比	記号
小牧	利賀川	117.3	5	4.62	1.51	3.74	I
	小谷川	19.3	4	4.00	2.32	4.52	
	湯瀬谷	21.2	4	4.00	2.36	4.60	2
祖山	鶴谷川	15.6	4	4.04	1.71	4.70	
		3.6	4	2.15	1.48	1.06	11
							12
小原	境川	44.4	5	3.88	1.72	3.84	II
	草薙谷	12.1	4	3.55	4.19	4.42	9
	小瀬谷	10.5	4	4.06	2.03	4.65	10
成出	加賀良川	26.3	4	4.62	2.15	4.04	
	大芦鹿谷	10.7	4	3.81	—	3.65	3
	牛首川	39.3	5	3.86	1.91	4.73	II
椿原	馬附谷	29.0	4	4.04	2.76	4.64	7
	大日川	85.9	5	4.03	2.01	4.38	III
	荒尾谷	26.6	4	3.88	2.14	4.32	6
御母衣	金森谷	15.6	4	3.27	2.58	3.96	4
	森代川	44.0	5	3.92	1.72	3.88	III
	六鹿川	62.9	5	3.81	2.34	4.50	IV
庄川本川	庄川本川	330.1	5	4.37	1.90	4.74	V
	柳手保川	29.2	5	3.42	2.03	3.96	IV
	尾上保川	121.2	5	4.00	2.21	4.71	III
湯都川	湯都谷	9.0	4	3.57	—	4.32	5
	湯都川	13.2	4	3.87	1.59	5.82	0

てどのようになつているかを吟味したのが、図-1であつて、III, V, VIIIのようにほとんど等落差のものもあるが、いわゆる荒廢支川とどうでない支川とり著しい差は認められない。土砂流出の多さが平衡状態にあるなしの直感的表現でないことと示すものであるかも知れない。

さて、各支谷のもつ輸送能力を表現しうる [流域面積×河道勾配] ΣAdS についてであるが、いま各支川のそれの総計の変動を調べたのが図-2である。次数の増加にしたがい一方的に減少傾向を示す。このことは、河道数則、河道勾配則、集水面積則からいっても当然考えられることであるが、この数値の大小、次数の増加による変動の様相のちがいが、流域内に与えられた土砂の流域の様相に差違をもたらすのであろうことは考えられる。たとえば、V, VIに対し同じ程度の土砂供給があるとき、VIにおいて下流域まで土砂堆積のあらざる機会が少なくともVIにおいてはかなり上流域から堆積をはじめるであらうし、IIIとIにおいて現在の河道堆積状況に差違があるのは、IIIにおける土砂供給がIにあけるそれに比較して多いことによるであつて、流域のもつ土砂輸送能力には差したる差りはないことを示すであらう。なお、図-4は1次谷における ΣAdS の分布を検討したものであつて、7, 6, 8は土砂流出のはげしい支川である。

土砂流出のはげしい鳩ヶ谷ダム流域と、どうでない御母衣ダム流域におけるその値を全流域面積で標準化して比較したのが図-3であり、図中の数字は1971年撮影の航空写真から土砂堆積ありと判断した谷の百分割合である(%)。土砂は1次谷の源頭部のみに供給され、いわゆる節分作用はあこへしないとの前提に立てば、鳩ヶ谷流域において堆積のある流域の百分割合が ΣAdS の減少に伴ない单调に増加するものに対し、御母衣流域においてほとんど増加しないことは、後者において多くの流域が輸送能力に未だ十分な余裕を残しているのに対し、前者においては能力にちがい土砂を輸送している流域がほとんどあることをこの図は示していると考える。また、いま後に5次流域における数字が流域の土砂輸送効率をあらわし、したがって輸送量が $\alpha \times \Sigma AdS$ であるとすれば、両流域での輸送量の比率は3.5:0.68となり、両ダムでの比堆積量が2.46, $0.56 \times 10^3 \text{ m}^3/\text{Km}^2/\text{year}$ であり、両流域の崩壊面積率が2.8, 0.5%であることを对照すると、これが一つの指標となり得る可能性を有することを示していると考える。

ですが 以上は主として図、写真から得られる情報によって検討したものであつて、いくに写真判読の適否の検証さらには崩壊粒度分布の情報収集など現地での作業を積んで上げ、より適確な指標を得るために努めたい。また、河道網形態の評価において、あまり危険にすぎるといわれる Horton-Strahler 流の stream order 以上に土砂流出の解析とむずびつくる時に、より適当と考えられる整理方法を見出しことも必要であらう。

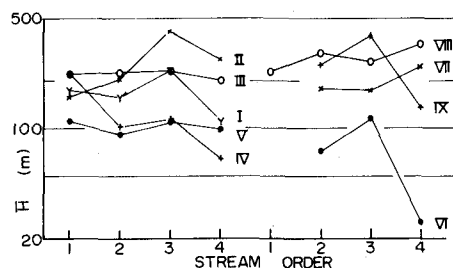


図-1 等落差別の検討

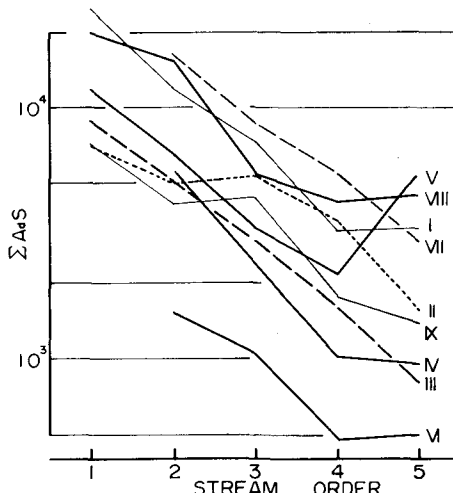


図-2 ΣAdS の変動

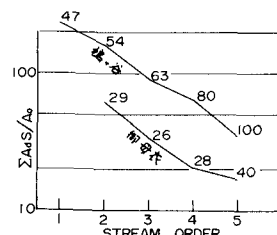


図-3

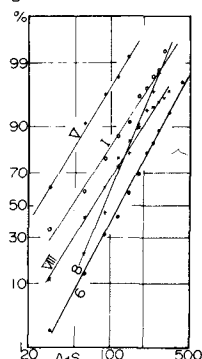


図-4 1次谷における ΣAdS の分布